



Московский государственный университет имени М.В.Ломоносова  
Факультет вычислительной математики и кибернетики

Трифонов Владислав Дмитриевич

**Отчет по заданию 1:**  
**Многопоточная реализация солвера CG для СЛАУ**  
**с разреженной матрицей, заданной в формате ELL**

Курс “Параллельные вычисления” (1 курс магистратуры ВМК)

группа 528, дата подачи 13.10.2019

Москва, 2019

# Содержание

<b>1</b>	<b>Описание задания и программной реализации</b>	<b>3</b>
1.1	Краткое описание задания . . . . .	3
1.2	Краткое описание программной реализации . . . . .	3
1.2.1	Сборка . . . . .	3
1.2.2	Запуск . . . . .	4
1.2.3	Реализация . . . . .	4
<b>2</b>	<b>Исследование производительности</b>	<b>6</b>
2.1	Характеристики вычислительной системы . . . . .	6
2.1.1	Компиляция . . . . .	6
2.2	Результаты измерений производительности . . . . .	6
<b>3</b>	<b>Анализ полученных результатов</b>	<b>11</b>
3.1	Процент от пика . . . . .	11
3.2	Процент от достижимой производительности . . . . .	13
<b>4</b>	<b>Заключение</b>	<b>17</b>

# 1 Описание задания и программной реализации

## 1.1 Краткое описание задания

В качестве задания 1 по курсу “Параллельные вычисления” предлагалось реализовать численное решение СЛАУ с разреженной матрицей, заданной в формате ELLPACK, методом сопряженных градиентов с предобуславливателем Якоби. Для этого требовалось:

- реализовать генератор матрицы с диагональным преобладанием для расчетной области, представленной трехмерной декартовой решеткой заданного размера  $N_x, N_y, N_z$
- выполнить последовательные реализации операций  $dot, axpby, SpMV$ , а также вспомогательные функции для работы с векторами
- реализовать предложенный солвер на основе данных операций
- выполнить многопоточные реализации данных операций с помощью библиотеки OpenMP
- реализовать многопоточный солвер
- реализовать проверочные вызовы последовательных и многопоточных реализаций для ручной проверки и оценки времени работы алгоритма
- исследовать эффективность реализованных алгоритмов

## 1.2 Краткое описание программной реализации

Реализация была выполнена на языке C.

### 1.2.1 Сборка

Сборка выполняется с помощью Makefile. Компилятор и его параметры задаются в переменных Makefile  $CXX, CXXFLAGS$  (компилятор по-умолчанию – gcc). Скомпилированная программа находится по пути `./build/bin/main`.

### 1.2.2 Запуск

Параметры запуска можно узнать с помощью команды:

```
# ./build/bin/main --help
```

Пример запуска реализованных солверов с предварительной проверкой операций при размере сетки 5x5x5, 2 потоках, максимальном числе итераций 6, параметром  $\epsilon = 0.1$ , усреднением по 3 запускам:

```
# ./build/bin/main --qa --nx=5 --ny=5 --nz=5 --nt=2 --maxit=6 --tol=0.1 --nseeds=3
```

### 1.2.3 Реализация

Для работы с матрицами в формате ELLPACK был реализован модуль *ell\_utils.c*, в нем содержатся функции:

- `generate_ELL_3D_DECART` – генерация случайной матрицы с диагональным преобладанием для трехмерной декартовой решетки заданных размеров
- `delete_ELL` – корректное освобождение выделенной памяти

Для работы с векторами был реализован модуль *vector\_utils.c*, в нем содержатся функции:

- `create_uninit_Vector` – создание вектора заданной размерности без его инициализации
- `create_const_Vector` – создание вектора заданной размерности с константной инициализацией
- `create_cosine_Vector` – создание вектора заданной размерности с инициализацией  $x_i = \cos(i * i)$
- `create_sin_Vector` – создание вектора заданной размерности с инициализацией  $x_i = \sin(i * i)$
- `copy_Vector` – создание копии вектора

- `copy_from_Vector_to_Vector` – копирование значений одного вектора в другой. Векторы должны быть одинаковых размеров
- `compute_sum` – подсчет суммы компонент вектора
- `compute_L2_norm` – подсчет L2 нормы
- `compute_L1_norm` – подсчет L1 нормы
- `compute_Linf_norm` – подсчет Linf нормы
- `delete_Vector` – корректное освобождение выделенной памяти

Базовые операции работы с векторами и матрицами выполнены в модуле *ops\_utils.c*:

- `dot` – скалярное произведение двух векторов
- `axpby_store` – операция  $r\vec{e}s = a * \vec{x} + b * \vec{y}$ , вектор результат должен быть указан
- `axpby` – аналогичная операция, для результата аллоцируется новая память
- `SpMV_store` – операция умножения разреженной матрицы на вектор, вектор результат должен быть указан
- `SpMV` – аналогичная операция, для результата аллоцируется новая память
- `inv_diag_SpMV_store` – операция умножения обратной диагональной части разреженной матрицы на вектор, вектор результат должен быть указан
- `inv_diag_SpMV` – аналогичная операция, для результата аллоцируется новая память

Аналогичные многопоточные операции реализованы в модуле *omp\_ops\_utils.c*.

В модулях *solver.c* и *omp\_solver.c* реализованы функции *solve* и *omp\_solve* для решения СЛАУ с разреженной матрицей, заданной правой частью, начальным приближением, параметром *eps* и максимальным числом итераций.

В модуле *main* производится парсинг аргументов командной строки и использование приведенных функций.

## 2 Исследование производительности

### 2.1 Характеристики вычислительной системы

Исследование было выполнено на ПК с 4-х ядерным CPU Intel i5-3570K, работающим на частоте 4.1 GHz, с памятью 4\*4Gb DDR3-1600MHz, работающей в двухканальном режиме. Пиковая производительность 131,2 GFLOPS, пиковая пропускная способность памяти  $12.8 * 2 = 25.6$  Gb/s. ОС – Ubuntu 16.04.

#### 2.1.1 Компиляция

Компиляция проводилась с помощью компилятора *gcc* 5.4.0 с флагами *-g -Wall -O3 -Werror -Wl,-z,defs -Wextra -fopenmp*.

### 2.2 Результаты измерений производительности

При проведении экспериментов проводилось 3 запуска, далее время усреднялось (*--nseeds=3*). В многопоточном варианте использовалось 2 и 4 потока (*--nt=2, --nt=4*). Параметр *eps = 0.1, maxit = 20* (*--tol=0.1 --maxit=20*).

Посчитаем количество FLOP для каждой из операций в зависимости от размера  $N$ :

- $FLOP(dot) = N + (N - 1) = 2N - 1$ ,  $N$  умножений и  $N - 1$  сложение
- $FLOP(axpby) = 2N + 1N = 3N$ ,  $2N$  умножений и  $N$  сложений
- $FLOP(SpMV) = (m + m - 1) * N = 13N$ , где  $m$  – количество ненулевых элементов матрицы в строке, в предложенной декартовой сетке  $m = 7$
- $FLOP(inv\_diag\_SpMV) = 2N$ ,  $N$  умножений и  $N$  делений
- $FLOP(solver) = FLOP(SpMV) + FLOP(axpby) + iter\_num * (FLOP(inv\_diag\_SpMV) + FLOP(dot) + FLOP(axpby) + FLOP(SpMV) + FLOP(dot) + 1 + 2 * FLOP(axpby)) = FLOP(SpMV) + FLOP(axpby) + iter\_num * (FLOP(inv\_diag\_SpMV) + 2 * FLOP(dot) + 3 * FLOP(axpby) + FLOP(SpMV) + 1) = 16N + iter\_num * (2N + 4N - 2 + 9N + 13N + 1) = N(16 + iter\_num * 28)$ , где  $iter\_num$  – количество проведенных итераций

Размер системы ( $N$ )	$10^6$	$10^7$	$5 * 10^7$	$7.5 * 10^7$
GFLOP	$2 * 10^{-3}$	$2 * 10^{-2}$	$1 * 10^{-1}$	$1.5 * 10^{-1}$
<b>Время последовательной реализации (в секундах) (<math>T_1</math>)</b>	<b>0.001</b>	<b>0.009</b>	<b>0.047</b>	<b>0.070</b>
GFLOPS (последовательная версия)	2.0	2.22	2.12	2.14
<b>Время многопоточной реализации, 2 потока (<math>T_2</math>)</b>	<b>0.001</b>	<b>0.008</b>	<b>0.039</b>	<b>0.058</b>
GFLOPS (2 потока)	2.0	2.5	2.56	2.59
<i>Ускорение (2 потока) (<math>T_1/T_2</math>)</i>	<i>1.0</i>	<i>1.125</i>	<i>1.20</i>	<i>1.21</i>
<b>Время многопоточной реализации, 4 потока (<math>T_4</math>)</b>	<b>0.003</b>	<b>0.009</b>	<b>0.039</b>	<b>0.057</b>
GFLOPS (4 потока)	0.67	2.22	2.56	2.63
<i>Ускорение (4 потока) (<math>T_1/T_4</math>)</i>	<i>0.33</i>	<i>1.0</i>	<i>1.20</i>	<i>1.23</i>
<i>Относительное ускорение (<math>T_2/T_4</math>)</i>	<i>0.33</i>	<i>0.89</i>	<i>1.0</i>	<i>1.01</i>

Таблица 1: Результаты производительности операции dot

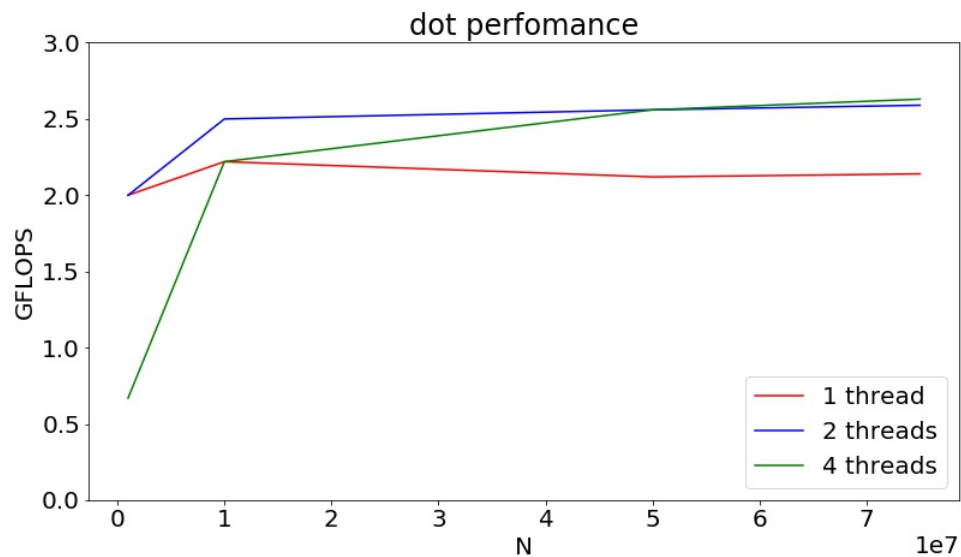


Рис. 1: Графики производительности операции dot

Размер системы ( $N$ )	$10^6$	$10^7$	$5 * 10^7$	$7.5 * 10^7$
GFLOP	$3 * 10^{-3}$	$3 * 10^{-2}$	$1.5 * 10^{-1}$	$2.25 * 10^{-1}$
<b>Время последовательной реализации (в секундах) (<math>T_1</math>)</b>	<b>0.003</b>	<b>0.027</b>	<b>0.135</b>	<b>0.204</b>
GFLOPS (последовательная версия)	1.0	1.11	1.11	1.10
<b>Время многопоточной реализации, 2 потока (<math>T_2</math>)</b>	<b>0.001</b>	<b>0.019</b>	<b>0.084</b>	<b>0.140</b>
GFLOPS (2 потока)	3.0	1.58	1.78	1.61
<i>Ускорение (2 потока) (<math>T_1/T_2</math>)</i>	<i>3.0</i>	<i>1.42</i>	<i>1.61</i>	<i>1.46</i>
<b>Время многопоточной реализации, 4 потока (<math>T_4</math>)</b>	<b>0.002</b>	<b>0.017</b>	<b>0.070</b>	<b>0.101</b>
GFLOPS (4 потока)	2.0	1.76	2.14	2.23
<i>Ускорение (4 потока) (<math>T_1/T_4</math>)</i>	<i>1.5</i>	<i>1.59</i>	<i>1.93</i>	<i>2.0</i>
<i>Относительное ускорение (<math>T_2/T_4</math>)</i>	<i>0.5</i>	<i>1.12</i>	<i>1.2</i>	<i>1.39</i>

Таблица 2: Результаты производительности операции axpby

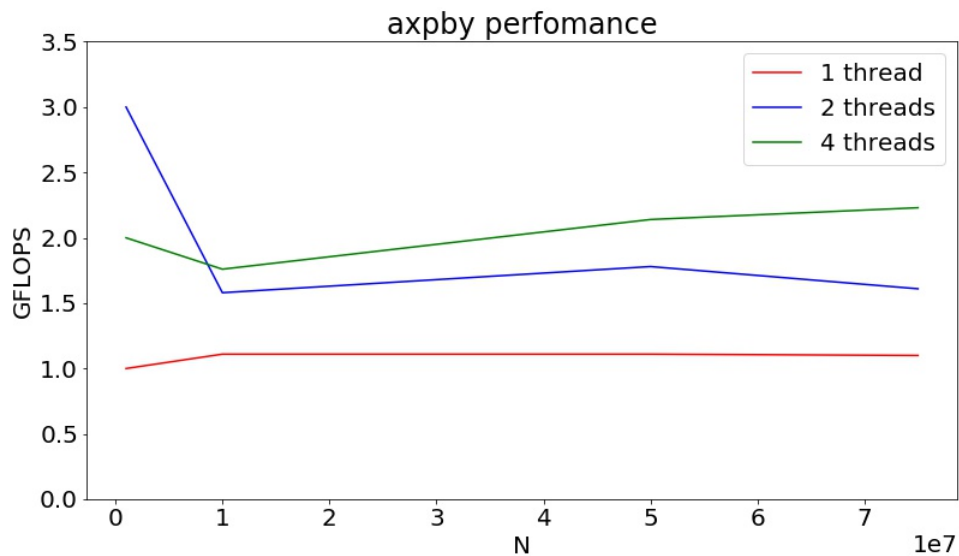


Рис. 2: Графики производительности операции axpby



Размер системы ( $N$ )	$10^6$	$10^7$	$5 * 10^7$	$7.5 * 10^7$
GFLOP	$1.6 * 10^{-2}$	$1.6 * 10^{-1}$	$8 * 10^{-1}$	1.2
<b>Время последовательной реализации (в секундах) (<math>T_1</math>)</b>	<b>0.009</b>	<b>0.107</b>	<b>0.535</b>	<b>0.807</b>
GFLOPS (последовательная версия)	1.77	1.49	1.49	1.49
<b>Время многопоточной реализации, 2 потока (<math>T_2</math>)</b>	<b>0.007</b>	<b>0.076</b>	<b>0.369</b>	<b>0.552</b>
GFLOPS (2 потока)	2.28	2.10	2.17	2.17
<i>Ускорение (2 потока) (<math>T_1/T_2</math>)</i>	<i>1.28</i>	<i>1.4</i>	<i>1.45</i>	<i>1.46</i>
<b>Время многопоточной реализации, 4 потока (<math>T_4</math>)</b>	<b>0.008</b>	<b>0.075</b>	<b>0.341</b>	<b>0.514</b>
GFLOPS (4 потока)	2	2.13	2.35	2.33
<i>Ускорение (4 потока) (<math>T_1/T_4</math>)</i>	<i>1.125</i>	<i>1.43</i>	<i>1.57</i>	<i>1.57</i>
<i>Относительное ускорение (<math>T_2/T_4</math>)</i>	<i>0.875</i>	<i>1.01</i>	<i>1.08</i>	<i>1.07</i>

Таблица 3: Результаты производительности операции SpMV

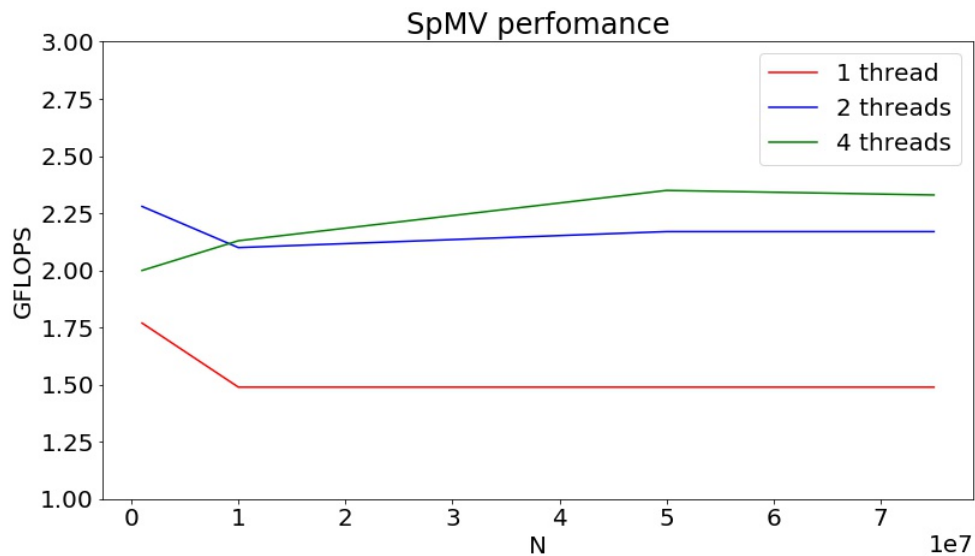


Рис. 3: Графики производительности операции SpMV

Размер системы ( $N$ )	$10^6$	$10^7$	$5 * 10^7$	$7.5 * 10^7$
Количество итераций	7	8	9	9
GFLOP	$2.12 * 10^{-1}$	2.40	$1.34 * 10^1$	$2.01 * 10^1$
<b>Время последовательной реализации (в секундах) (<math>T_1</math>)</b>	<b>0.161</b>	<b>1.963</b>	<b>10.719</b>	<b>15.925</b>
GFLOPS (последовательная версия)	1.32	1.22	1.25	1.26
<b>Время многопоточной реализации, 2 потока (<math>T_2</math>)</b>	<b>0.131</b>	<b>1.531</b>	<b>8.492</b>	<b>12.760</b>
GFLOPS (2 потока)	1.62	1.57	1.58	1.57
<i>Ускорение (2 потока) (<math>T_1/T_2</math>)</i>	<i>1.23</i>	<i>1.28</i>	<i>1.26</i>	<i>1.25</i>
<b>Время многопоточной реализации, 4 потока (<math>T_4</math>)</b>	<b>0.139</b>	<b>1.496</b>	<b>8.151</b>	<b>12.331</b>
GFLOPS (4 потока)	1.52	1.6	1.64	1.63
<i>Ускорение (4 потока) (<math>T_1/T_4</math>)</i>	<i>1.16</i>	<i>1.31</i>	<i>1.31</i>	<i>1.29</i>
<i>Относительное ускорение (<math>T_2/T_4</math>)</i>	<i>0.94</i>	<i>1.02</i>	<i>1.04</i>	<i>1.03</i>

Таблица 4: Результаты производительности солвера

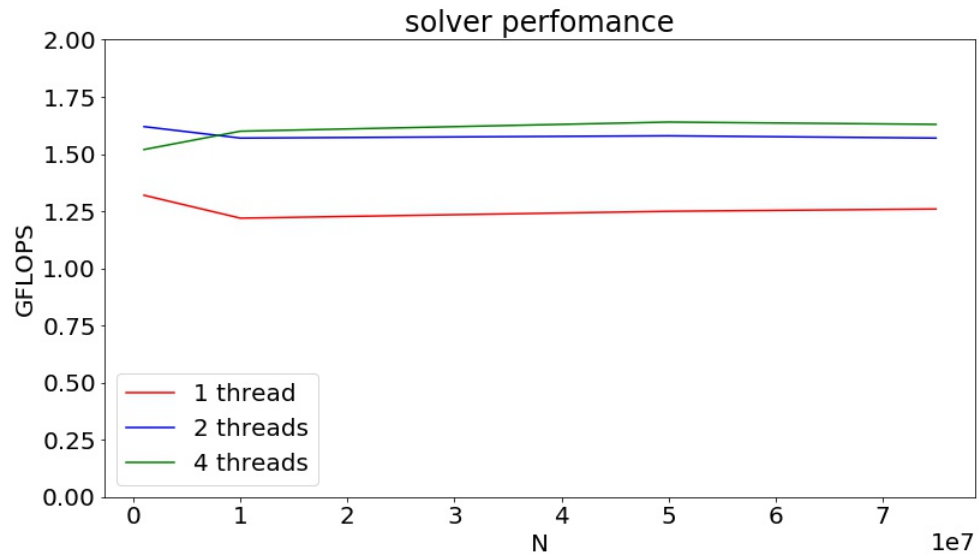


Рис. 4: Графики производительности солвера

### 3 Анализ полученных результатов

Пиковая производительность  $TPP = 131,2$  GFLOPS, пиковая пропускная способность памяти  $BW = 25.6$  Gb/s. На одно ядро  $TPP_p = 32.8$  GFLOPS.

#### 3.1 Процент от пика

Размер системы ( $N$ )	$10^6$	$10^7$	$5 * 10^7$	$7.5 * 10^7$
GFLOPS (последовательная версия)	2.0	2.22	2.12	2.14
<b>Процент от пика</b> <b>(<math>GFLOPS/TPP_p</math>)</b>	<b>6.1%</b>	<b>6.77%</b>	<b>6.46%</b>	<b>6.5%</b>
GFLOPS (2 потока)	2.0	2.5	2.56	2.59
<b>Процент от пика (2 потока)</b> <b>(<math>GFLOPS/(2 * TPP_p)</math>)</b>	<b>3.05%</b>	<b>3.81%</b>	<b>3.9%</b>	<b>3.95%</b>
GFLOPS (4 потока)	0.67	2.22	2.56	2.63
<b>Процент от пика (4 потока)</b> <b>(<math>GFLOPS/(4 * TPP_p)</math>)</b>	<b>0.51%</b>	<b>1.69%</b>	<b>1.95%</b>	<b>2.00%</b>

Таблица 5: Анализ достигаемой производительности для операции dot

Размер системы ( $N$ )	$10^6$	$10^7$	$5 * 10^7$	$7.5 * 10^7$
GFLOPS (последовательная версия)	1.0	1.11	1.11	1.10
<b>Процент от пика</b> ( $GFLOPS/TPP_p$ )	<b>3.04%</b>	<b>3.38%</b>	<b>3.38%</b>	<b>3.35%</b>
GFLOPS (2 потока)	3.0	1.58	1.78	1.61
<b>Процент от пика (2 потока)</b> ( $GFLOPS/(2 * TPP_p)$ )	<b>4.57%</b>	<b>2.4%</b>	<b>2.71%</b>	<b>2.45%</b>
GFLOPS (4 потока)	2.0	1.76	2.14	2.23
<b>Процент от пика (4 потока)</b> ( $GFLOPS/(4 * TPP_p)$ )	<b>1.52%</b>	<b>1.34%</b>	<b>1.63%</b>	<b>1.70%</b>

Таблица 6: Анализ достигаемой производительности для операции ахрбу

Размер системы ( $N$ )	$10^6$	$10^7$	$5 * 10^7$	$7.5 * 10^7$
GFLOPS (последовательная версия)	1.77	1.49	1.49	1.49
<b>Процент от пика</b> ( $GFLOPS/TPP_p$ )	<b>5.40%</b>	<b>4.54%</b>	<b>4.54%</b>	<b>4.54%</b>
GFLOPS (2 потока)	2.28	2.10	2.17	2.17
<b>Процент от пика (2 потока)</b> ( $GFLOPS/(2 * TPP_p)$ )	<b>3.47%</b>	<b>3.20%</b>	<b>3.30%</b>	<b>3.30%</b>
GFLOPS (4 потока)	2	2.13	2.35	2.33
<b>Процент от пика (4 потока)</b> ( $GFLOPS/(4 * TPP_p)$ )	<b>1.52%</b>	<b>1.62%</b>	<b>1.79%</b>	<b>1.77%</b>

Таблица 7: Анализ достигаемой производительности для операции SpMV

Размер системы ( $N$ )	$10^6$	$10^7$	$5 * 10^7$	$7.5 * 10^7$
GFLOPS (последовательная версия)	1.32	1.22	1.25	1.26
<b>Процент от пика</b> ( $GFLOPS/TPP_p$ )	<b>4.02%</b>	<b>3.72%</b>	<b>3.81%</b>	<b>3.84%</b>
GFLOPS (2 потока)	1.62	1.57	1.58	1.57
<b>Процент от пика (2 потока)</b> ( $GFLOPS/(2 * TPP_p)$ )	<b>2.47%</b>	<b>2.39%</b>	<b>2.41%</b>	<b>2.39%</b>
GFLOPS (4 потока)	1.52	1.6	1.64	1.63
<b>Процент от пика (4 потока)</b> ( $GFLOPS/(4 * TPP_p)$ )	<b>1.16%</b>	<b>1.22%</b>	<b>1.25%</b>	<b>1.24%</b>

Таблица 8: Анализ достигаемой производительности солвера

### 3.2 Процент от достижимой производительности

Для оценки вычислительной интенсивности посчитаем количество обращений в памяти для каждой из операций, учитывая что  $sizeof(double) = 8$  байт,  $sizeof(int) = 4$  байт:

- $DATA(dot) = 8 * 2N = 16N$  байт, чтение компонент 2 векторов
- $DATA(axpby) = 8 * 3N = 24N$  байт, 2 чтения и 1 запись
- $DATA(SpMV) = N(4 * m + 8 * m) + N + N = 86N$  байт, чтение  $m$  номеров столбцов и значений матрицы, запись вектора из  $N$  чисел и чтение вектора из  $N$  чисел (считаем, что чтение происходит один раз)
- $DATA(inv\_diag\_SpMV) = 8 * 3N = 24N$  байт, 2 чтения и 1 запись
- $DATA(solver) = DATA(SpMV) + DATA(axpby) + iter\_num * (DATA(inv\_diag\_SpMV) + DATA(dot) + DATA(axpby) + 1 + DATA(SpMV) + DATA(dot) + 2 * DATA(axpby)) = DATA(SpMV) + DATA(axpby) + iter\_num * (DATA(inv\_diag\_SpMV) + 2 * DATA(dot) + 3 * DATA(axpby) + DATA(SpMV) + 3) = 110N + iter\_num * 214 = N(110 + iter\_num * 214)$  байт

Теперь вычислим значение вычислительной интенсивности:

- $AI(dot) = \frac{2N - 1}{16N} = \frac{1}{8} = 0.125 \text{ FLOP/байт}$
- $AI(axpby) = \frac{3N}{24N} = \frac{1}{8} = 0.125 \text{ FLOP/байт}$
- $AI(SpMV) = \frac{13N}{84N} = 0.15 \text{ FLOP/байт}$
- $AI(solver) = \frac{16 + 28 * iter\_num}{110 + 214 * iter\_num} \text{ FLOP/байт}$

Теоретически достижимая производительность  $TBP = \min(TPP, BW * AI)$ :

- $TBP(dot) = 25.6 * \frac{1}{8} = 3.2 \text{ GFLOPS}$
- $TBP(axpby) = 25.6 * \frac{1}{8} = 3.2 \text{ GFLOPS}$
- $TBP(SpMV) = 25.6 * \frac{13}{84} = 3.96 \text{ GFLOPS}$
- $TBP(solver) = 25.6 * \frac{16 + 28 * iter\_num}{110 + 214 * iter\_num} \text{ GFLOPS}$

Размер системы ( $N$ )	$10^6$	$10^7$	$5 * 10^7$	$7.5 * 10^7$
TBP в GFLOPS	3.2	3.2	3.2	3.2
GFLOPS (последовательная версия)	2.0	2.22	2.12	2.14
<b>Процент от пика (<math>GFLOPS/TBP</math>)</b>	<b>62.5%</b>	<b>69.35%</b>	<b>66.25%</b>	<b>66.85%</b>
GFLOPS (2 потока)	2.0	2.5	2.56	2.59
<b>Процент от пика (2 потока) (<math>GFLOPS/TBP</math>)</b>	<b>62.5%</b>	<b>78.1%</b>	<b>80.0%</b>	<b>80.94%</b>
GFLOPS (4 потока)	0.67	2.22	2.56	2.63
<b>Процент от пика (4 потока) (<math>GFLOPS/TBP</math>)</b>	<b>20.94%</b>	<b>69.35%</b>	<b>80.0%</b>	<b>82.2%</b>

Таблица 9: Анализ достигаемой производительности операции dot с учетом пропускной способности памяти

Размер системы ( $N$ )	$10^6$	$10^7$	$5 * 10^7$	$7.5 * 10^7$
TBP в GFLOPS	3.2	3.2	3.2	3.2
GFLOPS (последовательная версия)	1.0	1.11	1.11	1.10
<b>Процент от пика (<math>GFLOPS/TBP</math>)</b>	<b>31.25%</b>	<b>34.68%</b>	<b>34.68%</b>	<b>34.37%</b>
GFLOPS (2 потока)	3.0	1.58	1.78	1.61
<b>Процент от пика (2 потока) (<math>GFLOPS/TBP</math>)</b>	<b>93.1%</b>	<b>49.37%</b>	<b>55.62%</b>	<b>50.31%</b>
GFLOPS (4 потока)	2.0	1.76	2.14	2.23
<b>Процент от пика (4 потока) (<math>GFLOPS/TBP</math>)</b>	<b>62.5%</b>	<b>55.5%</b>	<b>66.87%</b>	<b>69.68%</b>

Таблица 10: Анализ достигаемой производительности операции aхrбу с учетом пропускной способности памяти

Размер системы ( $N$ )	$10^6$	$10^7$	$5 * 10^7$	$7.5 * 10^7$
TBP в GFLOPS	3.96	3.96	3.96	3.96
GFLOPS (последовательная версия)	1.77	1.49	1.49	1.49
<b>Процент от пика</b> <b>(<math>GFLOPS/TBP</math>)</b>	<b>44.69%</b>	<b>37.62%</b>	<b>37.62%</b>	<b>37.62%</b>
GFLOPS (2 потока)	2.28	2.10	2.17	2.17
<b>Процент от пика (2 потока)</b> <b>(<math>GFLOPS/TBP</math>)</b>	<b>57.57%</b>	<b>53.03%</b>	<b>54.79%</b>	<b>54.79%</b>
GFLOPS (4 потока)	2.0	2.13	2.35	2.33
<b>Процент от пика (4 потока)</b> <b>(<math>GFLOPS/TBP</math>)</b>	<b>50.50%</b>	<b>53.79%</b>	<b>59.34%</b>	<b>58.83%</b>

Таблица 11: Анализ достигаемой производительности операции SpMV с учетом пропускной способности памяти

Размер системы ( $N$ )	$10^6$	$10^7$	$5 * 10^7$	$7.5 * 10^7$
Количество итераций	7	8	9	9
TBP в GFLOPS	3.37	3.37	3.37	3.37
GFLOPS (последовательная версия)	1.32	1.22	1.25	1.26
<b>Процент от пика</b> <b>(<math>GFLOPS/TBP</math>)</b>	<b>39.17%</b>	<b>36.2%</b>	<b>37.09%</b>	<b>37.39%</b>
GFLOPS (2 потока)	1.62	1.57	1.58	1.57
<b>Процент от пика (2 потока)</b> <b>(<math>GFLOPS/TBP</math>)</b>	<b>48.07%</b>	<b>46.59%</b>	<b>46.88%</b>	<b>46.59%</b>
GFLOPS (4 потока)	1.52	1.6	1.64	1.63
<b>Процент от пика (4 потока)</b> <b>(<math>GFLOPS/TBP</math>)</b>	<b>45.10%</b>	<b>47.48%</b>	<b>48.66%</b>	<b>48.37%</b>

Таблица 12: Анализ достигаемой производительности солвера с учетом пропускной способности памяти



## 4 Заключение

В результате практического задания была выполнена последовательная и многопоточная реализация солвера СЛАУ с разреженной матрицей. В ряде экспериментов было установлено, что, несмотря на высокую теоретическую пиковую производительность процессора, фактически достигаемая производительность реализованных алгоритмов сильно зависит от пропускной способности памяти, что ограничивает эффективность многопоточной версии солвера.